第11表　分析試料一覧表

No.	遺跡名	出土地点・層位	器種(系統)	時期	実測図番号
＊1	阿弥陀寺	ＳＤ17上位	壺(Ａ)	Ⅰ期	
2	〃	56Ｃ・包含層下部	〃	〃	
3	〃	56Ｄ・包含層下部	〃	〃	
4	〃	56Ｃ・包含層下部	〃	〃	
＊5	〃	ＮＲ02	〃	〃	
＊6	〃	56Ｃ・包含層中位	甕(Ａ)	〃	
＊7	〃	56Ｄ・包含層下位	〃	〃	
8	〃	56Ｄ・炭化物３	〃	〃	
9	〃	56Ｂ・包含層	〃	〃	
10	〃	56Ｃ・包含層上部	〃	〃	
＊11	〃	56Ｄ・包含層	壺(Ａ)	〃	
＊12	〃	56Ｄ・包含層下位	〃	〃	
13	〃	ＳＤ04	〃	〃	
＊14	〃	56Ｄ・包含層３	〃	〃	
15	〃	ＳＢ59床面	甕(Ａ)	〃	173
＊16	〃	ＳＫ74	〃	〃	206
17	〃	ＳＫ56	〃	〃	152
18	〃	58農２・包含層上	〃	Ⅱ期	
＊19	〃	〃	壺(Ａ)	〃	
＊20	〃	〃	〃	〃	
＊21	〃	ＳＢ12	〃	〃	641
22	〃	56Ｄ・包含層	〃	〃	
23	〃	59Ｅ・包含層	〃	〃	845
＊24	〃	59Ｄ・包含層上位	〃	〃	
25	〃	59Ｆ・包含層	甕(Ａ)	〃	
26	〃	ＳＢ69	台付甕(Ａ)	〃	726
＊27	〃	ＳＢ32	〃	〃	667
28	〃	ＳＤ18上層	壺(Ａ)	Ⅲ期	1207
＊29	〃	ＳＤ18	〃	〃	1206
＊30	〃	〃	〃	〃	1241
＊31	〃	ＳＤ01	〃	〃	1086
＊32	〃	56Ｄ・包含層	高杯(Ｗ)	〃	
33	〃	ＳＤ03	壺(Ｗ)	〃	
34	〃	ＳＺ02	高杯(Ｗ)	〃	
＊35	〃	56Ｄ・包含層	壺(Ｗ)	〃	
＊36	〃	56Ｃ・包含層	〃	〃	
＊37	〃	59Ｃ・包含層	〃	〃	
38	〃	ＳＤ03	甕(Ｗ)	〃	
＊39	〃	〃	〃	〃	
40	〃	ＳＺ02中位	台付壺(Ｗ)	〃	
41	〃	ＳＺ02下位	甕(Ｗ)	〃	
42	〃	ＳＥ７	〃	〃	
43	〃	ＳＤ２	壺(Ｗ)	〃	
44	〃	56Ｄ・包含層	甕(Ｃｂ)	Ⅰ期	
45	〃	ＳＺ02中位	〃	Ⅲ期	
46	〃	56Ｄ・包含層	〃	Ⅰ期	
47	〃	56・４Ｂトレンチ	〃	〃	
48	〃	56・４Ｂトレンチ	〃	〃	
49	〃	ＳＤ03	〃	Ⅲ期	
50	〃	59Ｃ・包含層	壺(Ｃａ)	Ⅰ期	
51	〃	59Ｃ・地山直上	壺(Ｃｂ)	〃	
52	〃	56Ｃ・包含層下位	壺(Ｂ)	〃	
53	〃	56Ｄ・包含層中位	〃	〃	
54	〃	56Ｄ・炭化物層２	壺(Ｃａ)	〃	
55	〃	56Ｃ・包含層	〃	〃	
56	〃	ＳＫ186	〃	〃	186
57	〃	ＳＫ297	〃	〃	312
58	〃	〃	〃	〃	304
59	〃	ＳＫ74	壺(Ｂ)	〃	213
60	〃	〃	〃	〃	212
61	〃	59Ｂ・包含層	〃	〃	
62	〃	59Ｂ・包含層	〃	〃	
63	〃	ＳＺ03	〃	Ⅲ期	963
64	〃	58農１	〃	〃	904
65	〃	56Ｄ・包含層上位	〃	〃	
66	〃	ＳＤ03	〃	〃	
67	〃	ＳＢ67	甕(Ｄ)	Ⅱ期	721
68	〃	ＳＢ20	〃	〃	662
69	〃	ＳＥ01	甕(Ｄ)	〃	
70	阿弥陀寺	ＳＢ14	〃	Ⅱ期	
71	〃	56Ｄ・包含層下位	壺(Ａ)	Ⅰ期	
72	〃	〃	〃	〃	
73	〃	56Ｄ・炭化物層２	〃	〃	
74	〃	56Ｄ・包含層	壺(Ｃ)	〃	
75	〃	56Ｃ・包含層下位	〃	〃	
76	〃	ＳＤ04	〃	〃	
77	〃	56Ｃ・包含層	〃	〃	
78	〃	56Ｄ・包含層下位	〃	〃	
79	〃	ＳＤ03	壺(Ｂ)	Ⅲ期	
80	〃	56Ｃ・包含層上位	〃	〃	
81	〃	56Ｄ・炭化物層	〃	Ⅰ期	
82	〃	56Ｃ・包含層	〃	Ⅲ期	
83	〃	ＳＫ01	〃	〃	
84	美園		甕(Ｃｂ)	０期	
85	勝川	Ⅰ ＬＯＷ	壺(Ａ)	Ⅰ期	
86	〃	〃	〃	〃	
87	〃	〃	壺(Ｃａ)	〃	
88	〃	〃	〃	〃	
89	〃	〃	甕(Ｃｂ)	〃	
90	〃	〃	〃		
91	〃	〃	〃	〃	
92	〃	〃	壺(Ｂ)	Ⅲ期	
93	〃	〃	〃	〃	
94	〃	〃	壺(Ｗ)	〃	
95	〃	〃	〃	〃	
96	〃	〃	〃	〃	
97	〃	〃	〃	〃	
98	〃	〃	〃	〃	
99	〃	〃	〃	〃	
100	〃	〃	〃	〃	
101	〃	〃	〃	〃	
102	〃	〃	〃	〃	
103	〃	〃	甕(Ｃｂ)	Ⅰ期	
104	〃	〃	壺(Ａ)	Ⅲ期	
105	〃	〃	甕(Ｗ)	〃	
106	〃	〃	〃	〃	
107	〃	〃	〃	〃	
108	〃	〃	〃	〃	
109	〃	〃	壺(Ａ)	Ⅰ期	
110	〃	〃	壺(Ｂ)	〃	
111	〃	〃	壺(Ａ)	〃	
112	〃	〃	〃	ⅡorⅢ期	
113	〃	〃	〃	〃	
114	トトメキ	Ⅰ北-黒灰色砂層	〃	Ⅱ期	
115	〃	〃	〃	〃	
116	〃	〃	壺(Ｂ)	〃	
117	〃	〃	〃	〃	
118	〃	〃	〃	Ⅲ期	
119	〃	〃	甕(Ｃｂ)	Ⅱ期	
120	〃	〃	〃	〃	
121	瓜郷		壺(Ｂ)	Ⅰ期	
122	〃		〃	〃	
123	〃		〃	〃	
124	〃		〃	〃	
125	〃		〃	〃	
126	〃		〃	〃	
127	〃		〃	Ⅱ期	
128	〃		〃	〃	
129	〃		〃	〃	
130	西中		壺(Ｂ)	Ⅲ期	
131	〃		壺(Ｗ)	〃	
132	〃		壺(Ｂ)	〃	
133	〃		壺(Ｗ)	〃	
134	〃		〃	〃	
135	〃		〃	〃	
136	〃		台付甕(Ｗ)	〃	

＊は表面観察および偏光顕微鏡観察を行った試料

Ⅰ―５　No.38・46・99　(3)

斜方輝石＋単斜輝石が角閃石とほぼ同量である。

Ⅰ―６　No.113・114　(2)

斜方輝石＋単斜輝石の次に不透明鉱物が多く、角閃石と黒雲母が非常に少ない。

第12表　重鉱物分析結果

試料番号	重鉱物組成															同定鉱物粒数
	カンラン石	斜方輝石	単斜輝石	角閃石		酸化角閃石	他の角閃石	黒雲母		緑レン石	ジルコン	ザクロ石	電気石	不透明鉱物	その他	
				緑色	褐色			緑色	赤褐色							
1		97	19	6	1	1		46	2					11	67	250
2		30	1	38				120			1	1			59	250
3		71	19	10	1			19	16		1	1		1	111	250
4		36	9	7		2		26	1		5	2		2	160	250
5		75	22	9	1			52	5		1			1	84	250
6		68	22	9				23	4		4			1	119	250
7		143	26	2				5	1					2	71	250
8		89	43	10		1		45	2					2	58	250
9		72	43	10	2	1		59	2			3		2	56	250
10		90	28	10				24	5		3			2	88	250
11		82	20	7	1	1		40	4		2			3	90	250
12		33	9	4	1			7	2		3			26	165	250
13		87	7	1	62	14		1	2						76	250
14		116	27		2	1		1			2				101	250
15		75	39	8				47	17		1				63	250
16		113	15	1	1			15	10						95	250
17		49	27	10	2			34	4		2			1	121	250
18	1	84	31	15	2			24	3		1			2	87	250
19		62	39	7		1		15	17						109	250
20		49	20	3		4		59	19		1	1			94	250
21		73	36	9	1	4		21						3	103	250
22		81	31	30				32	3		2		1	1	69	250
23		32	6	27	1	1		44	2	3	5	1		2	126	250
24		69	34	9				41	2		1			2	92	250
25		1	4	54				87	10		2	1			91	250
26		30	16	2	1	4		9	23		3				162	250
27		21	8	2		5		4	27		3		1		179	250
28		30	3	9				16			2			1	189	250
29		25	2	26		3		14	2	1	2			28	147	250
30		112	16	5		22		8	18		1				68	250
31		71	24	10		1		15	11		1			3	114	250
32		51	14	46				18	25		5			22	69	250
33		34	11	22	4	1		13	3		3	2		42	115	250
34		44	23	32				29	11	1	1	1	2	42	61	247
35		63	16	4	2	1		3	4		2			15	140	250
36		90	23	16		6		20	19					2	74	250
37	2	78	26	17		3		32	9		1	1		7	74	250
38		26	3	32				4			3		2	23	30	123
39		99	8	4	9	15		3	28			1			83	250
40		37	2	52	4	1		35	1					7	78	217
41		10	3	8	2			13	12		1	1		2	75	127
42		40	14	2	1	1		17	58						117	250
43					1			11	24						214	250
44		10	7	48				6	3		2			60	114	250
45		14	3	111	3	5		2			1			30	81	250
46		58	27	75	1	3					1			9	76	250
47		17	7	52	1						1	2		101	69	250
48		15	10	50	1	4					3	1		111	55	250
49		17	13	89		2		4			5	2		70	48	250
50		5	4	80		2		4	2		24	19		64	46	250
51		13	1	134			1	4			10	4		43	40	250
52		8	5	45		1		31	1		27	10		51	71	250
53		28	14	32			4	19			11	7		28	60	203
54		5	8	74			3	3	3		20	16		54	64	250
55		87	12	17		2		7	1		2			15	107	250
56		61	15	10		2		3			1			34	80	206
57		73	12	11				3	4		2			65	80	250
58		4	5	5		13		6	76		7	3			91	210
59		8	9	56	1	1		28	1		14	25		31	76	250
60		2	2	81				64	7		14	7		36	37	250
61		5	13	74				68			2	3	2	7	76	250
62		11	4	48		2		3	1		2	2	1	110	66	250
63		1	8	73				8			13	11	1	102	33	250
64			2	8		195		1	20			1			23	250
65		1	1	22		1		17			11	3		117	77	250
66		3	1	24				3	1		13	1	2	60	142	250
67		51	24	5		2		13	29		1			1	124	250
68		3	2	5		11		13	85						131	250
69		1		1		2		5	96		2	1			142	250
70		9	5	90				69				1		4	72	250

試料番号	重鉱物組成															同定鉱物粒数
	カンラン石	斜方輝石	単斜輝石	角閃石		酸化角閃石	他の角閃石	黒雲母		緑レン石	ジルコン	ザクロ石	電気石	不透明鉱物	その他	
				緑色	褐色			緑色	赤褐色							
71		1		2		44			49		12	6			136	250
72		1		4		34		3	17		6	2			183	250
73						1									249	250
74		1	3	38		28		37	20		4	12			107	250
75		53	18	21		5		19	7		1			9	117	250
76		15	3	96				47			1	8	2	1	77	250
77		19	4	132		3		30	1			2			59	250
78		25		110		2		19	1		2	1		1	89	250
79		8	4	143				24			10	3	1	7	50	250
80		7	7	49	1			17	4		15	22	3	36	89	250
81		1	1	73				17			10	19	3	25	44	193
82		1	1	128				39	10		9	2	1	8	51	250
83		7	4	124				61			11	8		15	20	250
84		1	12	68	1		5	15	1		4	58		17	68	250
85		101	12	11				27			2	1		65	31	250
86		49	7	9	2			8				1		78	96	250
87			2	90				77	29		2	4		10	36	250
88		37	14	11				20	4		3	1		14	146	250
89		23	7	41		1		7	1		5	1		14	150	250
90		13	10	35				20			4	1		84	83	250
91		14	4	108	1							1		82	40	250
92		7	5	117	2			39	12		6	5		7	50	250
93		1	12	115			1	15	10		5	16	1	9	65	250
94		25	2	2		1		8	96		6			2	108	250
95		114	1	4		3		3	7		1			8	109	250
96		32	2	3				33	2			1		42	75	190
97		6	1	3		1		17	16		6		2	22	176	250
98		12		1	4	4		1			6	9		5	208	250
99		74	11	66	2			7	1		2	8	1	35	43	250
100		21	6	10	1			25	10		8	2		53	114	250
101		5	7	111	1	2		18			6	12	3	35	50	250
102		17	3	14				28	14		7	2	2	16	147	250
103		7	11	88	21	20		3	3		2	4		26	65	250
104		14	2	10				1			6	2		79	87	201
105		43	12	25		1		34	4		5	3		40	67	234
106		32	4	3		4		15	29		6	2		5	150	250
107		13	12	13		1		28	6		8	1		20	148	250
108		65	17	47	2			45	6		3	3		18	44	250
109		146	3	22	12	15								8	44	250
110		37	17	8		2		29	12		1		1	1	142	250
111		46	20	17	1			17	3		1	1		23	121	250
112		26	8	8	1	3		9	7		4			22	65	153
113		34	5	2		2		1	1		1			31	173	250
114	1	60	17	16		1		9		1				81	64	250
115		175	20	1				5				1		13	35	250
116		4	6	115			1	19	2	3	6	10		38	46	250
117		4	5	90	1			9	2	1	6	3		51	78	250
118		3	4	125	4	3		11			9	3	1	22	65	250
119		107	8	90		2		1			1	1	1	21	18	250
120	1	37	18	135	2	1		7				1		25	23	250
121		8	2	177	1			28				3		8	23	250
122		2	3	17					1		4	2		3	22	54
123		1	4	95				24			11	10		34	71	250
124		4	3	138				1			10	17		25	52	250
125			5	58				6	5	1	12	9		68	86	250
126		1	1	15	6	30		31	45	1		2			118	250
127		3	1	133				7			4	24		10	68	250
128			3	159				25		1	1	12		10	39	250
129			2	125				29		3	1	2		4	84	250
130		5	3	195				14				3		2	28	250
131		2	9	142				7	18		6	12	3	1	50	250
132		3	1	38		11	1	4	5		38	8	6	2	133	250
133		2	2	59			1	2	2		71	1	2	63	45	250
134		2	3	125			2	13	8		10	9	2	22	54	250
135		1	6	24			1	7			17	43		23	128	250
136		4	5	78				6	19		12	5	1	16	104	250

Ⅰ—7　No.13・40・109・119　(4)

斜方輝石に対する単斜輝石の量比が非常に小さい。

Ⅰ—8　No.95・96　(2)

Ⅰ—7グループに比べて角閃石が非常に少ない。

IIグループ

角閃石が多い。Ⅰグループ同様に次の4グループに細分できる。

II—1　No.50～54・59～61・63・79～83・92・93・101・103・116～118・123～125・134・136　(26)

角閃石が最も多いか、または不透明鉱物と同量程度で少量のジルコン・ザクロ石を伴う。

II—2　No.44・45・47～49・62・91　(7)

II—1に比べてジルコン・ザクロ石が非常に少ない。

II—3　No.65・66　(2)

II—1に比べて不透明鉱物が非常に多い。

II—4　No.76～78・120・121・127～131　(10)

II—1に比べて不透明鉱物が少なくジルコンも少ない。

IIIグループ

角閃石が多いが、他の試料中には少ない鉱物が多いのでIIグループとは区別した。次の2グループに分けられる。

III—1　No.84・135　(2)

ザクロ石が多い。

III—2　No.132・133　(2)

ジルコンが多い。

IVグループ

黒雲母が多い。次の3グループに細分できる。

IV—1　No.2・58・68・69・94・126　(6)

黒雲母が最も多い。

IV—2　No.25・70・87　(3)

黒雲母と角閃石が多い。

IV—3　No.71・72・74　(3)

黒雲母と酸化角閃石が多い。

Vグループ　No.64　(1)

酸化角閃石が非常に多い。

VIグループ　No.43・73・98　(3)

「その他」が非常に多い。

b．胎土と器種・器形の関連について

この結果と、器種・器形による分類との間の対応関係について、遺跡別に述べる。

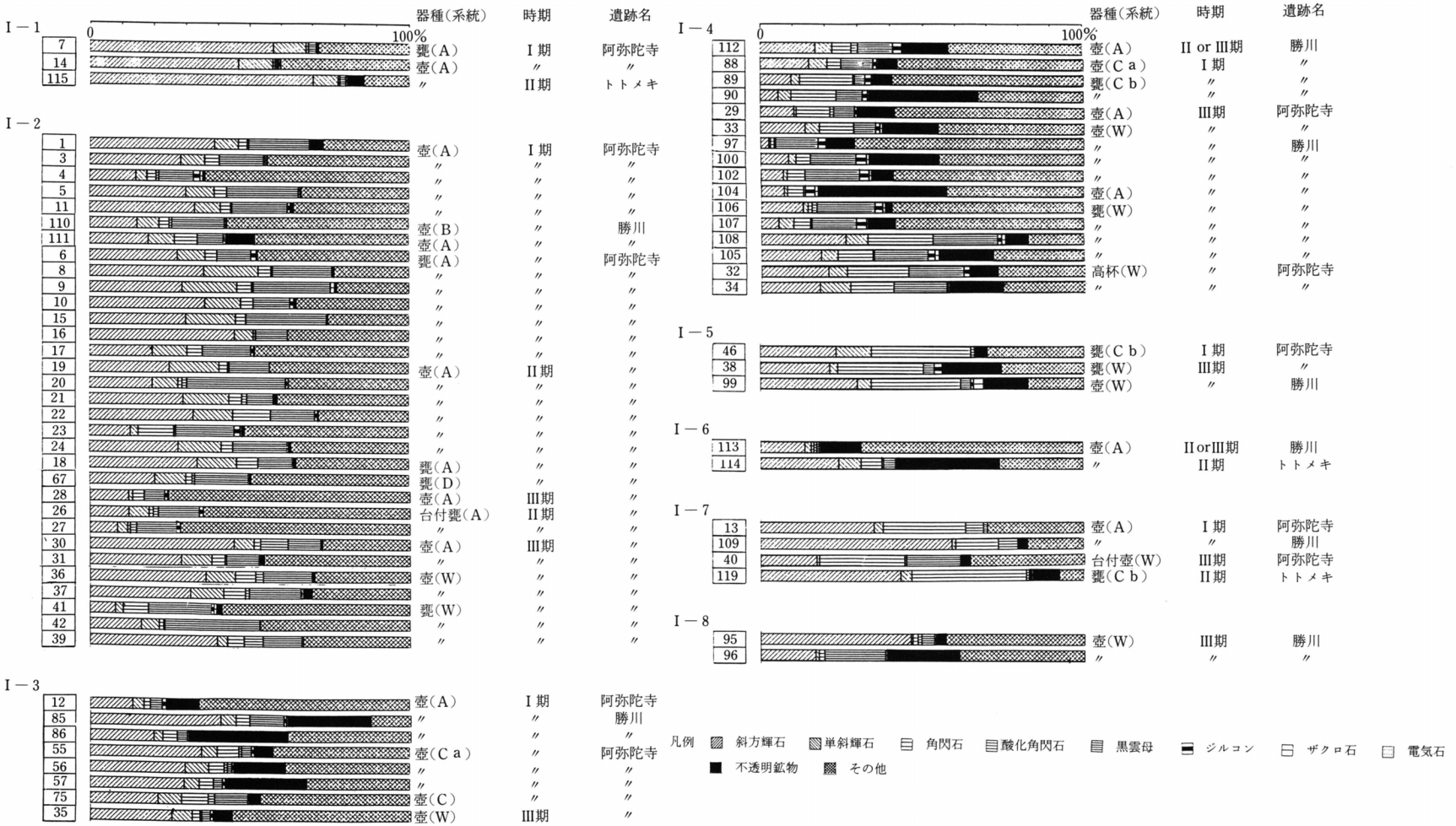

第256図　グループ別重鉱物組成(1)

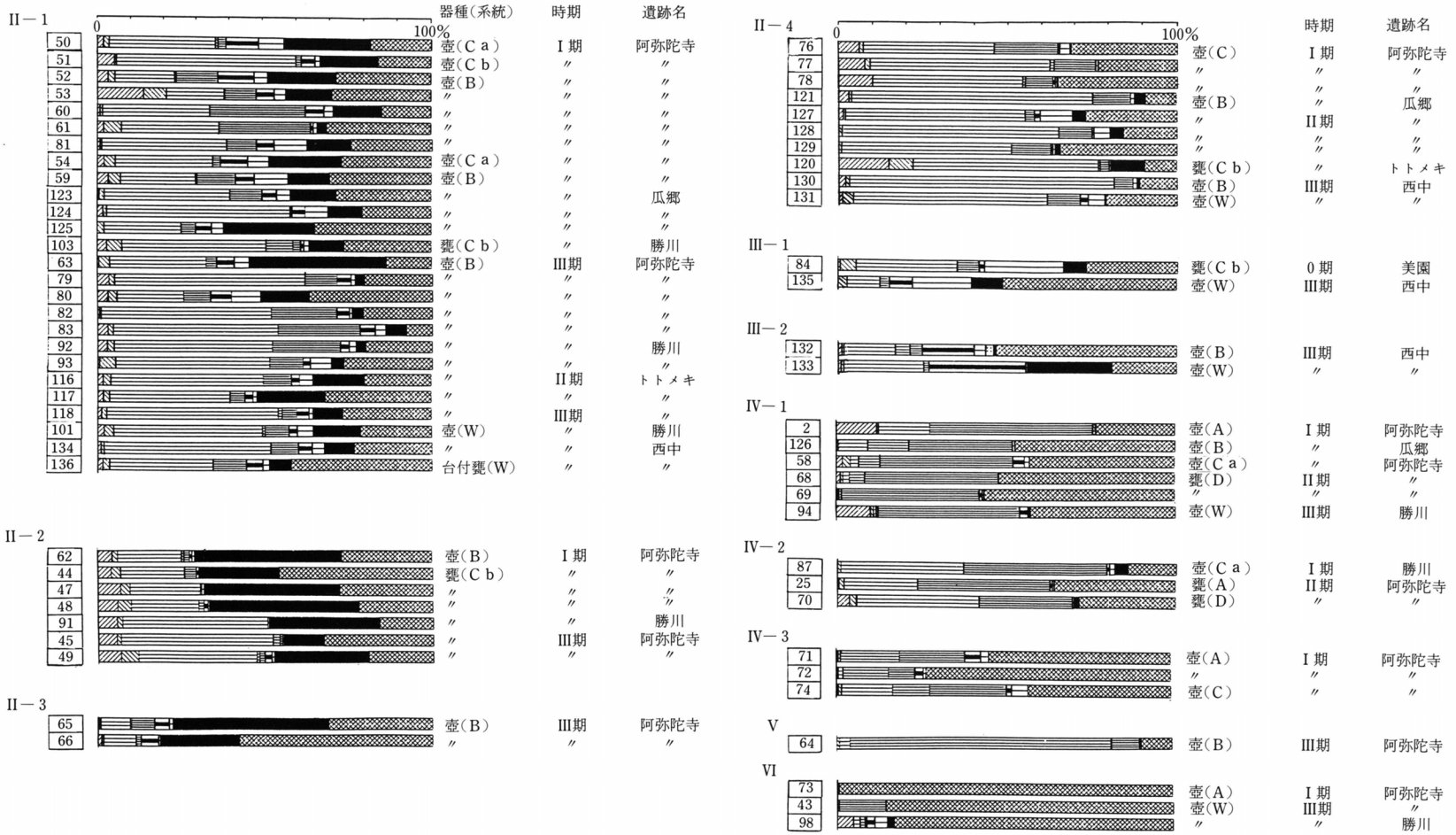

第257図 グループ別重鉱物組成(2)
（凡例は第256図と同じ）

阿弥陀寺遺跡

分析点数が83点と最も多く、器形によるA～DおよびWの系統分類と胎土のグループの間に、以下のような対応関係が見られる（第13表）。

A系統

全34点（壺22点・甕12点）中29点がⅠグループに属し、中でもⅠ—2グループに24点が集中する。また、Ⅳグループに4点が含まれる。このうち台付甕2点は両方ともⅠ—2グループに分類される。

B系統

全15点中、No.64（Ⅴグループ）を除く全てがⅡグループに属する。特にⅡ—1グループに11点が分類される。

第13表　阿弥陀寺・トトメキ遺跡の系統分類と胎土のグループ

	A	B	C（下段左はCa右はCb）	D	W
Ⅰ	①②②②②②②②②②②②②②②③④⑦❶❻ 1 2 2 2 2 2 2 2 2 2 2 2		③ / ③③③ 5 7	2	②②③④⑦ 2 2 2 5 ④④
Ⅱ		①①①①①①①①①①①②③③ ❶❶❶	④④④ / ①① ① 2 2 2 2 2 2 4		
Ⅲ					
Ⅳ	①③③ 2		③ / ①	1 1 2	
Ⅴ		○			
Ⅵ	○				○

○は壺、□は甕、◇は高杯を表し、白ヌキは阿弥陀寺遺跡、ヌリはトトメキ遺跡を表す。マークの中の数字は小分類を表す。

C系統

単にC系統とされたものと、Ｃａ・Ｃｂ系統に分けられたものとがある。

前者は5点全てが壺で、Ⅰ—3グループに1点、Ⅱ—4グループに3点、Ⅳ—3グループに1点属する。Ｃａ系統も6点全て壺で、そのうちⅠ—3グループに3点、Ⅱ—1グループに2点、Ⅳ—1グループに1点が属する。C系統・Ｃａ系統では胎土にばらつきがみられるようである。

Ｃｂ系統（いわゆる条痕文系）は7点中6点が甕で、残り1点は壺である。これらはNo.46（Ⅰ—5グループ）を除き、Ⅱ—2グループに属する。この系統は、上記二系統に比べまとまりがあり、この差は器種あるいは器形によるものの可能性もある。

D系統

甕のみ4点のうち、3点がⅣグループに属し、うち2点がⅣ—1グループ、1点がⅣ—2グループである。残り1点はⅠ—1グループに属する。

W系統

12点（壺6点・甕4点・高杯2点）のうち、Ⅵグループに属するNo.73以外は全てⅠグループに属し、特に壺・甕10点中Ⅰ—2グループに5点が属する。そのほかはⅠ—3・4・5・7グループに1点ずつ属する。高杯は2点ともⅠ—4グループに属する。

美園遺跡

分析点数は1点（Ｃｂ系統）だけで、Ⅲ—1グループに属する。

勝川遺跡

分析点数は29点である。Ⅰグループに分類されるものが21点と最も多く、Ⅱグループに5点、Ⅳグループに2点、Ⅵグループに1点が分類される（第14表）。Ⅰグループのうち、Ⅰ—4グループに12点

が含まれ、特にW系統は壺6点中3点、甕4点全てがこのグループに分類される。

A系統は全てがⅠグループに含まれるが、小分類ではばらつきがみられる。B系統とC系統は分析点数が少なく、分類と胎土のグループの対応関係がはっきりしない。

第14表　勝川遺跡の系統分類と胎土のグループ

	A	B	C（下段左はCa右はCb）	D	W
Ⅰ	②③③④④⑥⑦	②	④ ［4］［4］		④④④⑤⑧⑧［4］［4］［4］［4］
Ⅱ		①①	［1］［2］		①
Ⅲ					
Ⅳ			②		①
Ⅴ					
Ⅵ					○

○は壺、□は甕を表す。
マークの中の数字は小分類を表す。

トトメキ遺跡

分析点数は7点（壺：A系統2点・B系統3点、甕：Cb系統2点）である。A系統の壺2点はⅠ—1・6グループに1点ずつ、B系統の壺3点は全てⅡ—1グループに属する。Cb系統の甕はⅠ—7・Ⅱ—4グループに1点ずつ属する（第13表）。分析点数は少ないが、A系統とⅠグループ、B系統とⅡグループ（特にⅡ—1グループ）という、阿弥陀寺遺跡に似た対応関係がみられる様である。

瓜郷遺跡

全9点（全てB系統の壺）のうちⅣ—1グループに属する1点を除き、他は全てⅡグループに属する（第15表）。阿弥陀寺・勝川遺跡の試料とは全く異なった傾向を示す。

西中遺跡

分析点数は7点（壺：B系統2点・W系統4点、台付甕：W系統1点）で、B系統の壺はⅡ—4グループに1点、Ⅲ—2グループに1点属し、W系統の壺ではⅡ—1・4グループにそれぞれ1点、Ⅲ—1・2グループにそれぞれ1点ずつ分類された。台付甕はⅡ—1グループだった（第15表）。系統と胎土の間には対応関係はみられない様である。

第15表　瓜郷・西中遺跡の系統分類と胎土のグループ

	A	B	C	D	W
Ⅰ					
Ⅱ		①①①④④④④④❹			❶❹❶
Ⅲ		❷			❶❷
Ⅳ		①			
Ⅴ					
Ⅵ					

○は壺、□は甕を表し、白ヌキは瓜郷遺跡、ヌリは西中遺跡を表す。
マークの中の数字は小分類を表す。

c．系統分類と胎土の関係

今回分析した6遺跡のうち、大阪府の美園遺跡を除く5遺跡は、尾張地域と三河地域に大きく二分することができる。前者は阿弥陀寺・勝川・トトメキの三遺跡で、瓜郷・西中の両遺跡は後者である。

A系統は尾張南西部の在地の器形で、その多くはⅠグループに分類できた。特に阿弥陀寺遺跡出土の試料ではⅠ—2グループが大半を占め、これが阿弥陀寺遺跡の土器の重鉱物組成の特徴といえるだろう。また、勝川遺跡ではⅠグループのうちⅠ—4グループがやや多く、Ⅰ—2グループは少ない。この様に、同じ尾張地域でも阿弥陀寺・勝川の両遺跡の胎土の間には、若干の傾向の違いがあり、この差は阿弥陀寺遺跡が五条川（旧木曽川水系）、勝川遺跡が庄内川の流域であることに起因すると推測できる。

B系統は三河地域の遺跡における在地の器形（いわゆる瓜郷式系統）で、瓜郷・西中の両遺跡出土の土器の多くがこの系統に分類できる。また、尾張地区三遺跡でもこの系統に分類されるものが出土して

いる。

分析の結果、全遺跡を通してB系統の土器はIIグループ（特にII—1グループ）に分類されるものが多い。このことは、尾張地域の遺跡で出土したB系統の土器の胎土が三河地域の在地の土器と同じ特徴を持つことを示し、この地域と三河地域とのつながりをうかがわせる。

C系統は尾張北部から美濃地域における在来の器形である。特にCa系統は尾張平野部周辺地域、Cb系統は尾張北東部から美濃にかけての地域の特徴を持っている。

CおよびCa系統の壺では異質な胎土が混在しているが、Cb系統の壺・甕（いわゆる条痕文系）では胎土の質がよく揃っており、そのほとんどがIIグループに分類できる。しかし、II—2あるいはII—4に分類されるものが多く、B系統の土器とはやや傾向が異なるかもしれない。

美園遺跡の土器はこのCb系統で、III—1グループに分類されている。しかし、重鉱物の組合せはIIグループに似ており、IIグループが三河あるいは尾張北部・美濃地域の重鉱物の特徴であるなら、この土器は愛知県産である可能性もないとはいえない。

D系統は伊勢系の土器で、阿弥陀寺遺跡出土の甕4点のみである。そのうち3点がIVグループに分類できる。分析点数は少なくはっきりとしたことは不明である。

W系統は、土器編年で阿弥陀寺III期に属する外来系の土器である。尾張地域ではIグループ、三河地域ではIIまたはIIIグループと、ほぼ在地の特徴を持っている。特に勝川遺跡出土のW系統の土器は、I—4グループに比較的よいまとまりを示す。これらの土器は器形からは外来系の土器と判別されたのに対し、胎土は出土遺跡の在地の特徴を示し、興味深い結果である。

また、阿弥陀寺遺跡出土の高杯は2点ともI—4グループに属する。このグループが勝川遺跡の胎土の傾向と考えるなら、阿弥陀寺・勝川遺跡のつながりが推定できる。

d．尾張地域の土器胎土の重鉱物組成

器形や文様から尾張地域の在地と考えられる土器（A系統の壺・甕）の多くは、重鉱物中に斜方輝石＋単斜輝石が多く含まれている。当センターでは、報告書の発行に合わせて組織的に土器の重鉱物分析を行ってきているが、その結果でも、尾張地方の土器には両輝石を多く含むものが多いことを報告している。

当遺跡の北東約5㎞に位置する、朝日遺跡の弥生土器包含層中に含まれる鉱物を観察する機会を得たが、この中にも両輝石が含まれていた。また、尾張西部の各遺跡の基盤を構成する砂層中にも両輝石が含まれていることが、今年（1989年）度の分析で明らかになりつつある。

これらのことから、尾張地方の堆積物中には普遍的に両輝石が含まれており、これが土器の胎土に影響を与えていると推定できる。両輝石の供給源が判明すれば、これが阿弥陀寺遺跡だけでなく、尾張地域産の土器の一つの指標となり得るだろう。

(3). 表面観察と偏光顕微鏡観察

上記のように、Iグループが当遺跡および付近の遺跡の在地の土器の特徴と考えられる。このIグループに属する試料のうち、阿弥陀寺遺跡の出土で、表面観察に耐える大きさを持ったものを選び出し、表面観察と偏光顕微鏡観察の試料とした。試料番号は重鉱物分析で用いたものと共通で、No.1・5～7・11・12・14・16・19～21・24・27・29～32・35～37・39の21試料について分析を行った。

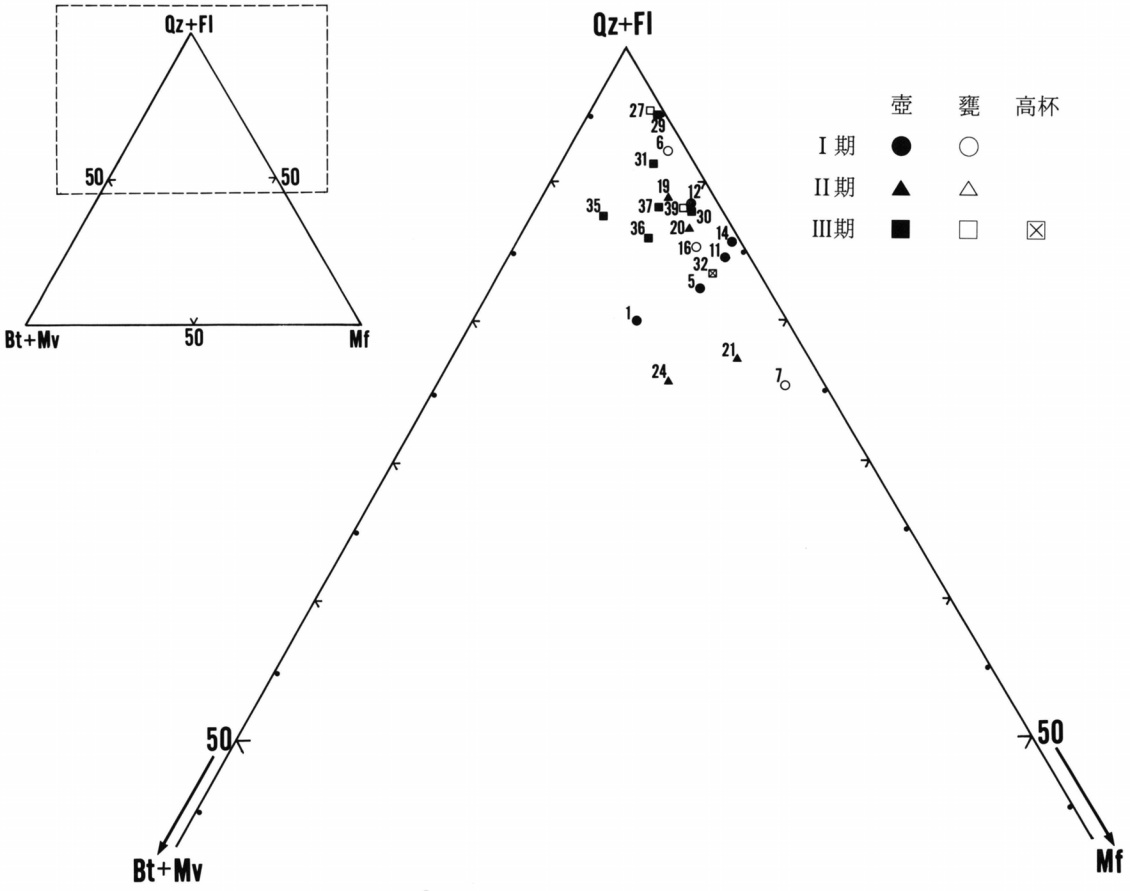

第258図　Qz＋Fl－Bt＋Mv－Mf 三角ダイヤグラム
鉱物名の略号は第16表と同じ

その方法は、今年（1989年）度並行して実施した岡島遺跡（愛知県西尾市）の分析方法と同じである。詳しくは、愛知県埋蔵文化財センター調査報告書第14集・『岡島遺跡』を参照されたい。以下にそれぞれの結果について述べる。

a．表面観察

分析結果を第16表に示す。これをもとに石英＋長石・黒雲母＋白雲母・雲母以外の有色鉱物の三成分を頂点に、三角ダイヤグラムを作成した（第258図）。

その結果、重鉱物分析によって同じⅠグループに分類された試料は、三角ダイヤグラム上でも、石英＋長石が85～90％、黒雲母＋白雲母が５％前後、雲母以外の有色鉱物が10～15％のあたりに比較的よくまとまった分布を示した。重鉱物分析によって同じ特徴を持った土器群は、表面観察においてもよく似た傾向を示す。

ただし、No.１・７・21・24は、他の試料に比べて石英＋長石が少なく、雲母や他の有色鉱物をやや多く含む傾向にある。特にNo.７は、土器表面に多くの火山ガラスが観察できた。これらの４試料は、同じような特徴を持ちながらやや異なった傾向を示し、今後の分析によっては、この地方の胎土の小地域差

第16表　表面観察結果

No.	Qz	Fl	Bt	Mv	Mf	Gr	Ch	Oth	TOTAL
1	130	33	19	1	21	0	1	0	205
5	140	33	9	0	28	0	1	1	212
6	157	44	3	0	13	0	1	1	219
7	100	36	5	1	41	2	8	16	209
11	119	46	4	0	26	0	6	2	203
12	137	33	4	0	18	0	10	3	205
14	153	15	0	1	27	2	7	1	206
16	133	36	5	1	23	0	5	1	204
19	140	31	6	0	15	0	9	2	203
20	147	36	5	1	21	1	4	1	216
21	141	26	9	1	38	0	5	0	220
24	129	27	20	2	31	0	4	0	213
27	149	38	1	0	8	0	10	2	208
29	156	28	1	0	9	0	5	1	200
30	149	19	3	1	19	0	9	5	205
31	171	11	5	0	12	0	5	5	209
32	140	21	4	1	27	0	7	0	200
35	145	34	16	0	9	0	0	0	204
36	157	18	11	0	17	0	2	2	207
37	155	13	7	0	15	0	16	4	210
39	164	7	4	0	18	0	10	1	204

Qz：石英　Fl：長石　Bt：黒雲母　Mv：白雲母
Mf：雲母以外の有色鉱物　Gr：花崗岩　Ch：チャート
Oth：その他（花崗岩・チャート以外の岩片や火山ガラスなど）

が読み取れるかもしれない。

b．偏光顕微鏡観察

分析結果を第17表に示す。偏光顕微鏡観察では観察面積が狭いため、量比は定量的には扱わず、観察者の判断によった。

鏡下では、石英・斜長石・カリ長石・黒雲母の他に、全試料に輝石（特に斜方輝石）および安山岩質の火山岩が含まれていた。また、これらにチャートや溶結凝灰岩（いわゆる濃飛流紋岩）が伴った。これが偏光顕微鏡観察における胎土の特徴と思われる。

ただし、No.6・7は、他の試料では比較的多く含まれているチャートが認められなかった。同時に他の試料に比べ、No.6では溶結凝灰岩が多く、No.7では両輝石と火山岩が多い。これらの試料は異なった傾向を持っていると考えるべきかもしれない。

第17表　阿弥陀寺遺跡偏光顕微鏡観察結果

No.	鉱物											岩片					
	Qz	Pl	K-F	Bt	Mv	Hb	Opx	Cpx	Ol	Zr	To	Gr	Ch	WT	VR	SS	M
1	++	+	+	−			+	−		(−)		(−)	+	+	+		
5	++	+	+	−			+						+	+	++	(−)	
6	++	+	+	−	(−)	(−)	−	(−)						++	+		
7	+	+	+				++	++				−		+	++		
11	++	+	+	−		+	+	+	(−)	(−)		−	++	(−)	−		
12	++	−	+	+			−	−		(−)			+		+		
14	++	+	+	(−)			+	−			−		+		+		
16	++	+	+	(−)		−	−	−				−	+		+		(−)
19	++	+	+	+			−	−		(−)			−		+		
20	++	+	+	+		−	−	+				−	+		+		
21	++	+	+	−	(−)	−	−	+				−	+	(−)	+		
24	++	+	+	++		−	+	−				−	+	−	+		
27	++	+	+	−		−	(−)	(−)				+	+	+	−		
29	++	+	−	−		−	(−)	(−)		(−)		−	+	−	(−)		
30	++	+	−	−			(−)	(−)		(−)			+	−	−		
31	++	−	+	−			(−)			(−)		+	+	+	+		
35	++	−	+	+			−	−				−	+	−	−		
36	++	+	+	−			−					−	+	−	+		
37	++	+	+	−		−	+	−	(−)			−	+	−	+		
39	++	+	+	−		−	+	−		(−)		−	+	−	+		

鉱物　Qz:石英　Pl:斜長石　K-F:カリ長石　Bt:黒雲母　Mv:白雲母　Hb:角閃石　Opx:斜方輝石　Cpx:単斜輝石　Ol:カンラン石　Zr:ジルコン　To:電気石
岩片　Gr:花崗岩　Ch:チャート　WT:溶結凝灰岩　VR:火山岩　SS:砂岩　M:変成岩

また火山岩は、ガラス質と結晶質の二種類に分けることができ、その比率は試料によって差が認められるようである。これらを定量化することによって、グループの細分化も可能であろう。

(4). 阿弥陀寺遺跡の土器の胎土の特徴に関する考察

これらの分析の結果、阿弥陀寺遺跡の土器には、重鉱物分析では両輝石が含まれ、偏光顕微鏡観察では火山岩が含まれていることがわかった。このうち重鉱物分析で観察できる両輝石には火山ガラスや火山性の岩片が付着していることがある。また、土器表面に火山ガラスが観察できる試料がある（No.7・31）。偏光顕微鏡下では、火山岩中に時折斜方輝石や単斜輝石が観察できる。これらのことから、重鉱物分析における尾張地方の一つの指標である両輝石は、火山性の岩体（両輝石安山岩？）か火山灰が起源であると推定できる。このことは、当遺跡をはじめとする尾張地方の遺跡の胎土の特徴を考える場合において、重要な情報となろう。

昨年（1988年）度、春日井市町田遺跡の土器（弥生時代中期および後期）についても同様の方法で分析を行った。この結果、町田遺跡でも重鉱物分析で両輝石が含まれる土器が多く存在しており、同時に偏光顕微鏡下で火山岩が観察できる土器群が存在することがわかっている。このことは、この時代に町田遺跡と尾張西部が、つながりのあったことを示唆しているかもしれない。

謝　辞

分析にあたり、愛知教育大学地学教室の仲井豊教授および三宅明助教授には、同大学の施設を使用させていただくと共に、有益な助言をいただいた。記して感謝の意を表します。

B．阿弥陀寺遺跡から出土した緑色の岩石について

阿弥陀寺遺跡では、多数の石製品が検出された。このうち石斧に多くみられた緑色の岩石について、岩石学的な記載を行った。今回の発掘で出土した緑色の石斧から4点を選び、各々小片を切り出して岩石薄片を作製した。これらの岩石薄片を試料として、構成鉱物の同定や組織の観察を行った。以下に各試料の特徴を記す。

■試料1・2・3（図版32―1）

全体の組織は凝灰岩状である。石基部分の主要鉱物はアクチノ閃石、曹長石、針状の不透明鉱物（イルメナイト）である。アクチノ閃石はおもに柱状で、不透明鉱物を取り囲むように全体に分布している。試料1には、球顆構造を持つ軽石や玄武岩源の接触変成岩などの礫がみられた。また、礫の周囲や球顆構造の周囲には緑泥石が観察され、球顆構造の内部には緑簾石や黒雲母が確認された。まれに角閃石がみられた。

■試料4（図版32―2）

全体の組織はアクチノ閃石によるデッカサイト組織（柱状の結晶が十字に交差している組織）である。主成分鉱物は、アクチノ閃石、曹長石、不透明鉱物（イルメナイト）であった。まれにジルコンや角閃石がみられた。

以上のことから、これらの試料は塩基性の岩石が弱い接触変成作用を受けて生成されたアクチノ閃石ホルンフェルスであると同定される。その源岩については、試料1～3の岩石は球顆構造を示す礫などから塩基性のスコリア凝灰岩、試料4の岩石は玄武岩であると考えられる。

これらの試料の源岩となった塩基性の凝灰岩や玄武岩は、おそらく一連のものと考えられ、岩石学的に「緑色岩」と呼ばれているものにあたる。

「緑色岩」は、東海地方では濃尾平野北方に分布する美濃帯の中・古生層中や、三重県南部から愛知県南東部に分布する三波川帯にその存在が知られている。今回の試料は、これらの岩体の一部が接触変成を受けたものと考えられ、「緑色岩」の一部とみなすことができる。

一般に弥生時代の磨製石斧には、緑色岩を使用したものが多くみられ、肉眼では今回の試料とよく似た特徴を有している。これらの緑色岩は、組織が方向性をもっていて加工しやすいこと、また塩基性であるため比重が大きく打撃力があることから、石斧には適した石材であると考えられる。そのため選択的に石斧の石材に使用された可能性が高い。今後の分析によって、岩石の詳細な同定や流通など、多くの成果をもたらすものと考えられる。

謝　辞

名古屋大学理学部鈴木和博・縣孝之・愛知教育大学三宅明の諸先生には、岩石・鉱物の同定に関して御教示いただいた。心から御礼申し上げます。

C．阿弥陀寺遺跡から出土した赤色物質のX線回折分析

X線回折分析は、結晶によって回析されたX線から結晶構造を知る分析方法である。

今回検出された赤色物質は、偏光顕微鏡下において不透明で同定が困難であったことからX線回折分析を行った。試料の赤色物質は、阿弥陀寺Ⅰ期の遺構（SK14）から検出されたものである。大きさ約7×5㎝、厚さ約3.5㎝の本来ドーナツ状であったと思われる焼土塊である。表面は滑らかで暗赤褐色から赤褐色を呈しており、長石が1点認められた。断面はもろく暗灰色から赤褐色であり、平均約2㎜の小粒が集まっているようにみえる。また、赤色物質の破片を水洗したものの中から、平均粒径50μmの少量の石英・長石類・雲母類が偏光顕微鏡下で観察された。

X線回折分析には、断面から採取した赤色物質約1gを用いた。メノウ乳鉢でおよそ10μm以下の粒径になるように粉砕したものを、アルミニウムの穴あき試料ホルダーにつめX線を照射した。測定時の諸条件は分析結果とともに第259図に示した。図中の横軸は入射X線と回折X線のなす角度（2θ）、縦軸は回折X線の強度（cps）を示している。チャートには7箇所の明瞭なピークが認められるが、このうち26.5°は石英によるものであり、これを除いたピークはすべて赤鉄鉱（Hematite：Fe_2O_3）によるものである。また、偏光顕微鏡下で確認された石英以外の鉱物は、その量が赤鉄鉱に比べ大変少ないためピークが検出されていない。以上の結果から、今回検出された赤色物質は赤鉄鉱を主成分としていることが確認できた。

謝　辞

本分析進めるにあたり、愛知教育大学の三宅明助教授には同大学の設備の使用について有益なご指導・ご便宜を賜った。心から御礼申し上げます。

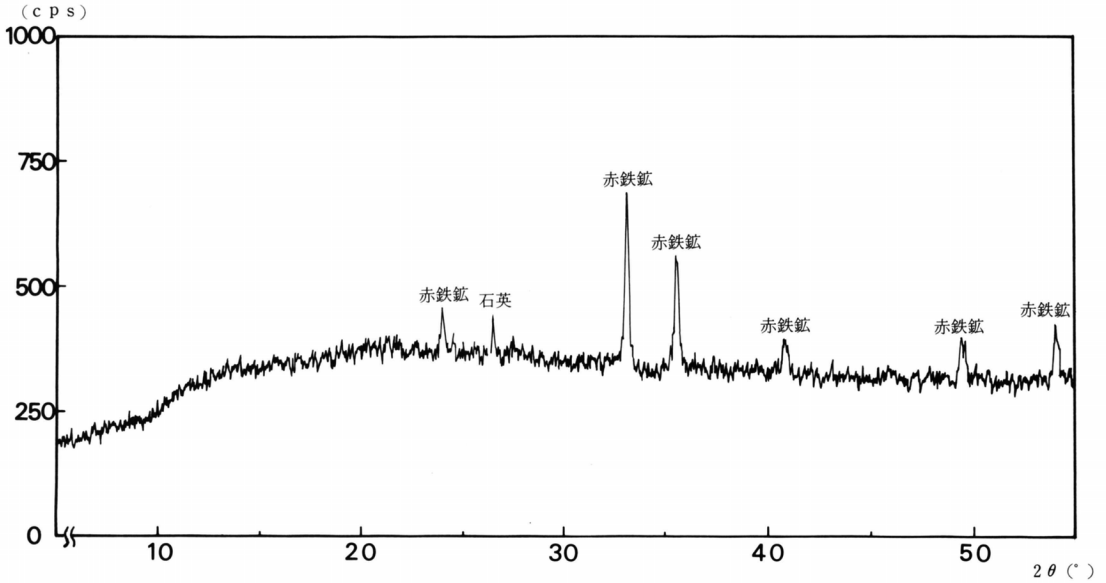

対陰極　Cu　管電圧　30kV　時定数　2s　チャート速度　2cm min⁻¹　受スリット　0.1mm
フィルター　Ni　管電流　15mA　走査速度　2°min⁻¹　発散スリット　1°　空気散乱防止スリット　1°

第259図　赤色物質X線回折チャート

D．阿弥陀寺遺跡出土の炭化米について

今回の発掘にともなって、弥生時代中期の住居跡などから多くの炭化米が検出された。遺跡から出土する炭化米については、武田ほか（1979）の三重県納所遺跡（弥生時代中期）、塩谷（1982）の朝日遺跡（弥生時代中期～後期）など多くの報告があり、一般に粒長・粒幅・粒厚を測定し、粒形を比較している。これらの研究をもとに、本遺跡出土の炭化米について検討を行った。

水洗選別によって得られた試料から、変形やひび割れがなく細部の構造をよく残したものを選び、1／20㎜ノギスをもちいて粒長(l)・粒幅(w)・粒厚(d)を測定した。測定した試料は、土器編年による阿弥陀寺Ⅰ期の4遺構359粒、Ⅱ期4遺構164粒の合計523粒である。

遺構ごとの測定数及び測定値の平均を第18表に、測定数の多い遺構について、粒長、粒幅の分布を第261図に表した。どの遺構も平均値に大きな差はなく、特に粒形の異なる集団は認められなかった。

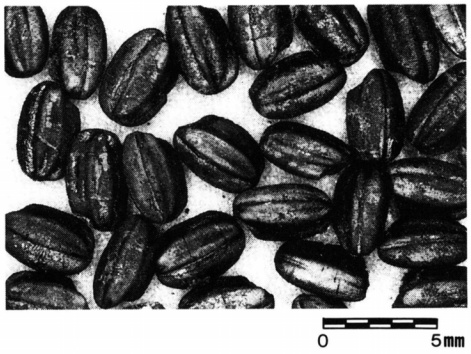

第260図　測定に用いた炭化米（ＳＫ312）

次に、長幅比の度数分布を時期別に表した（第262図）。最頻値はⅠ期、Ⅱ期ともに1.65～1.70であるが、Ⅱ期では長幅比の小さい方にやや偏った分布を示した。時期別の平均値からもわかるように、Ⅰ期の炭化米はⅡ期に比べわずかに大型で、粒形は細長い傾向が見られたが、見かけ上は識別できないほどの小差である。

武田ほかは、納所遺跡の炭化米について粒長（㎜）・粒幅（㎜）・長幅比の平均がそれぞれ4.90・2.83・1.73の集団を粒形ａ、4.28・2.66・1.60の集団を粒形ｂ、4.28・2.97・1.44の集団を粒形ｃとしている。本遺跡の炭化米をこれらの粒形と比較してみると、Ⅰ期、Ⅱ期とも粒形ｂに類似するものが最も多く、ａ、ｃに類似するものが10～20％含まれている。しかし、長幅比の分布からみても粒形の区分は困難なことから、本遺跡出土の炭化米についてはひとつの集団として考えたほうが望ましい。

以上のことから、阿弥陀寺遺跡から出土した炭化米は、Ⅰ期からⅡ期を通じて長幅比1.65～1.70に最頻値をもち、日本型のイネ（*Oryza sativa* L.*japonica* Kato.）の粒形の範囲に含まれるまとまった集団であると考えられる。

第12表　炭化米測定結果

時　期	遺構番号	測定数	粒長(l)	粒幅（ｗ）	粒厚（ｄ）	長幅比(l/ｗ)
Ⅰ	ＳＢ45	198	4.53㎜	2.78㎜	1.87㎜	1.64
	ＳＫ127	100	4.67	2.88	1.93	1.63
	ＳＫ150	53	4.39	2.66	1.83	1.66
	ＳＫ310	8	4.17	2.55	1.66	1.64
	平　均		4.54	2.79	1.88	1.64
Ⅱ	ＳＢ36	40	4.43	2.79	1.85	1.59
	ＳＢ65	8	4.43	2.65	1.85	1.67
	ＳＫ135	6	4.44	2.76	1.83	1.61
	ＳＫ312	110	4.44	2.76	1.82	1.62
	平　均		4.44	2.76	1.83	1.61

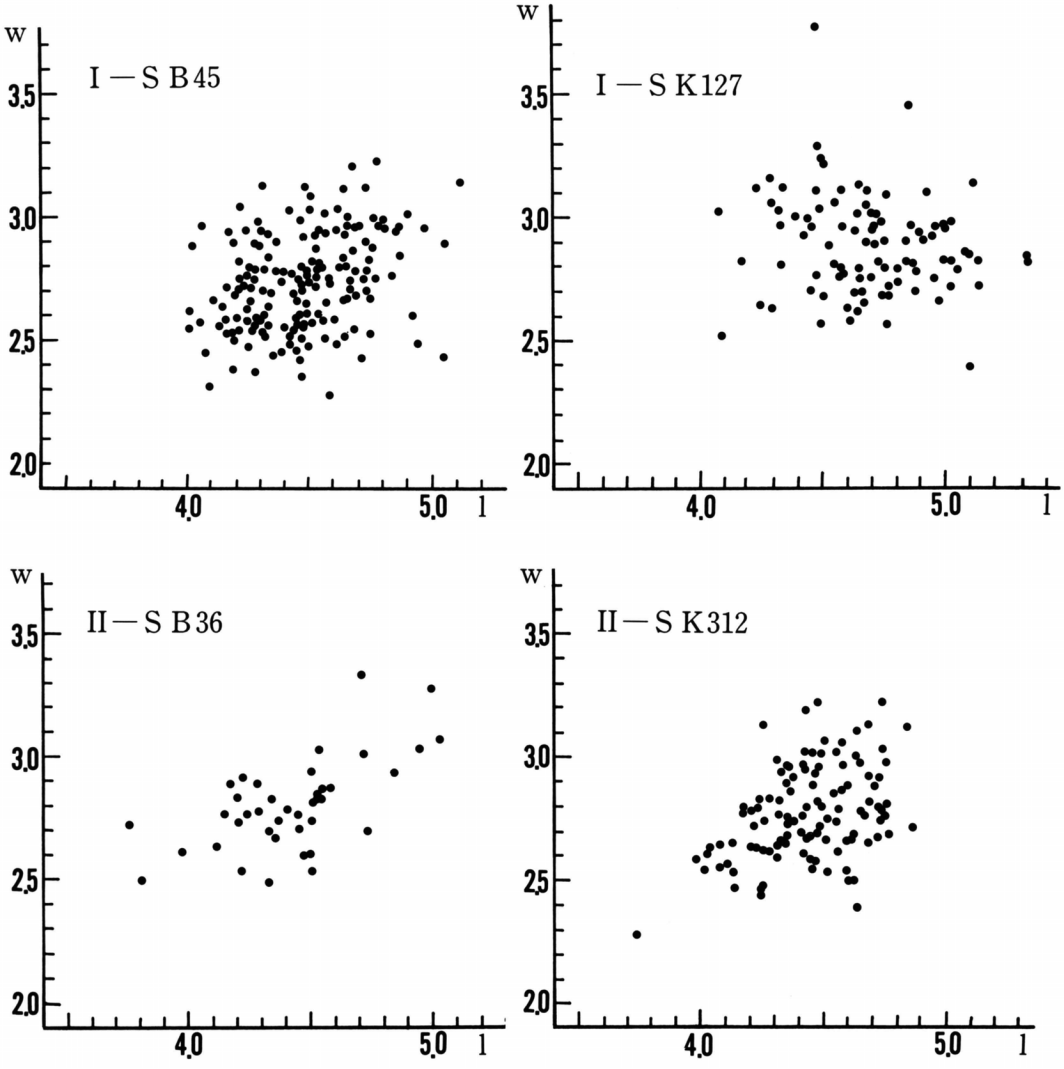

第261図　粒長（l）・粒幅（w）分布図（単位：mm）

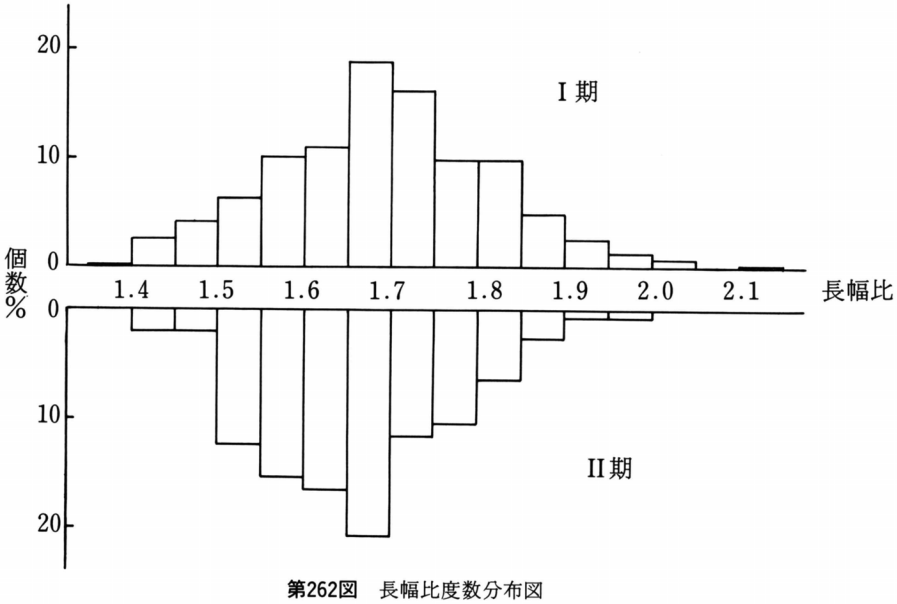

第262図　長幅比度数分布図

E.「中世土器」の胎土分析

今回の発掘調査で出土した、中世土器の胎土分析（重鉱物）をパリノ・サーヴェイ株式会社に依頼して実施している。その分析データについてはすでに報告したところであるが[40]その後の知見もあるので再度ここに分析報告を行うこととした。

課題と試料

課題　分析にあたっては、阿弥陀寺遺跡出土の「14世紀代」前後の土器を主たる分析対象として、器種と胎土の関係等を明らかにし、土器の「流通」等を考える上での基礎資料作りを分析の第１課題・目標とした。

試料　試料は阿弥陀寺遺跡より出土した中世土器14点である。試料とした土器の遺物番号、出土遺構については第19表に示すとおりである。

分析方法

分析方法については、次のとおりである。土器片約10ｇを鉄乳鉢にて粉砕、水を加え超音波洗浄装置により分散、#250の分析篩を用いて水洗、粒径1/16㎜以下の粒子を除去する。乾燥の後篩別し、得られた1/4～1/8㎜の粒子をテトブロモエタン(比重約2.96)により重液分

第19表　重鉱物分析結果

遺構	遺物番号	試料番号	重鉱物組成 カンラン石	斜方輝石	単斜輝石	角閃石 緑色	角閃石 褐色	酸化角閃石	他の角閃石	黒雲母	緑レン石	ジルコン	ザクロ石	リン灰石	鉱物 A	不透明 B	その他	固定鉱物粒数
ＳＤ1015東西	2510	18		112	35	6	2			86		1	1		4	2	3	252
〃	2513	20		42	8	3	2			32		1			1	5	2	96
〃	2509	24	1	101	27	7	1			83		3			2	10	10	245
〃	2482	28		102	25	12	6	15		54		2	2		2	17	18	255
ＳＤ1002	2265	31		75	29	19	1			34					12	6	17	193
ＳＤ1015東西	2528	26		39	19	6				23					4	12	1	104
ＳＤ1021	2673	14		4	5		1			159		2	2		1	1	13	188
ＳＤ1002	2262	30			8	22	1			140		7			4	19	17	218
ＳＤ1022東西	2697	15			2					224		2				3	20	251
〃	2704	11			2	2	1			238			1	1		5	11	261
〃	2702	10			3	4			1	171		1	1				6	187
〃	2705	17								237	2	1				1	9	250
ＳＤ1021	2675	13			1					51						206	3	261
ＳＫ1003	2136	12	1	1	1					18			1		1		2	25
※参考　大渕遺跡　（海部郡甚目寺町大渕）																		
60ＤＳＤ04	—	33			6	20	1	1		4		40	1		3	161	13	250
参考　杉山遺跡　（新城市大字杉山）																		
ＳＫ1368	193	2	1	1	4	13				152		5			5	8	6	195
ＳＫ1263	184	4		3			4			10		1			1	15	6	40

遺物番号は報告書に基づく

大渕遺跡　㈶愛知県埋蔵文化財センター　1988　『大渕遺跡　阿弥陀寺遺跡』（愛知県埋蔵文化財センター調査報告書　第４集）
杉山遺跡　同　上　『杉山遺跡』（愛知県埋蔵文化財センター調査報告書　第５集）

離、重鉱物のプレパラート作製、偏光顕微鏡下にて同定した。

不透明鉱物については、斜め上立方からの落射光下で黒色金属光沢を呈するものをAとし、それ以外をBとした。表中の「その他」は、変質等で同定不能の粒子である。

分析結果及び考察

分析結果　分析の結果、得られた試料の重鉱物組成は第19表、第264図に示すとおりである。処理後に得られた重鉱物の粒数が100粒に満たないものが2513、2136の2点みられた。このうち2513については100粒に近いのでほぼ正しい組成を表しているものと解した。また2136については後述のように重鉱物の含有量が少ないことに意味がある可能性がある。

なお、第19表、第264図には阿弥陀寺遺跡に隣接する大渕遺跡（海部郡甚目寺町大字甚目寺字大渕）[41]および愛知県東部にある杉山遺跡（新城市大字杉山）出土土器[42]の分析結果についても参考として示した。

試料のグループ分け　分析結果をもとに、その重鉱物組成における共通する特徴をとらえ、以下のような試料のグループ分けを試みた。

Ⅰグループ（2510、2513、2509、2482、2265、2528）

斜方輝石が最も多く、次に黒雲母、単斜輝石、角閃石の順に多いグループ

Ⅱグループ（2673、2262、2697、2704、2702、2705、および杉山遺跡193）

黒雲母が非常に多いことで特徴づけられるグループ

Ⅲグループ（2675）

不透明鉱物Bが非常に多く、他に黒雲母が含まれる。

Ⅳグループ（2136および杉山遺跡184）

同定鉱物粒数が極端に少ない。

Ⅴグループ（大渕遺跡例）

不透明鉱物Bが多い点はⅢグループに似るが、他の試料に較べてジルコンの量が非常に多いことが特徴である。

Ⅲ～Ⅴグループについては、例数が少なくグループとするには問題があるが、今後に備えグループとした。

なおこのグループ分けで問題となるのは不透明鉱物Bの取り扱いである。つまりこの不透明鉱物Bの鉱物名については未知であり、鉱物組成で斜方輝石が多いという場合と不透明鉱物Bが多いとではおのづからその意味が異なるからである。この点は今後の課題である。

土器の器種と胎土との関係は、上記のように試料は重鉱物組成の特徴により比較的明瞭なグループ分けができるが、このグループと器種との間にさらに明瞭な対応関係を認めることができる（第264図）。すなわち、Ⅰグループは全て14世紀代の皿類、Ⅱグループはいずれも14世紀代の土鍋A、土釜Aで、Ⅴグループは12世紀～13世紀前葉の土鍋A、Ⅲグループは15世紀代の土釜A、Ⅳグループは15世紀代の土鍋Aという対応である。

このことから（a）14世紀代に限って云えば皿類と鍋・釜類とでは胎土が異なっていたことが知られる。（b）例数が少ないきらいがあるが土鍋・土釜では、時期によって胎土が異なって（変化して）いる可能性がある。（c）そうしてもう1つ重要な点は、阿弥陀寺遺跡から東へ離れた豊川水系の杉山遺跡出土の土鍋Aと阿弥陀寺遺跡出土の土鍋Aの鉱物組成が概ね一致をみた点である。従来形態の一致から特定の生産地から供給された可能性があることが指摘されるところであったが今回の胎土分析でさらにその妥当性が高まったものと云えよう。

製作地の問題等　こうした成果をふまえて、次に製作地の問題について若干の検討を加えてみたい。まずこのような胎土と器種との対応関係から次のことが考えられる。すなわち皿類と鍋・釜類とでは、

i）製作地が異なる

ii）土器の用途により土（素地）を選択していた。

iii）形能により土（素地）を選択していた。

等々の場合が想定される。

i）について云えば、例えば器種により生産地が異なっていたことや（逆に云えば産地を選択して購入していた）1つの生産地で製作する器種の分担が決められていたことなどが考えられる。ただこの場合、土鍋A、土釜Aが県下において極めて画一的な形態を示すのに較べ、皿類の形態がバラエティに富んでいる点からすれば同一場所で両者が製作された可能性は弱まろう。

ii）について云えば皿類と鍋・釜類とでは耐火性などを考慮する必要から異なる土（素地）を使っていた可能性が考えられる。これはi）の後者の考えと連動しよう。

iii）については、製作時の成形過程における作り易さを考慮して異なる素地を用いていたことなどが考えられる。

以上のように製作地については様々な推側が可能でありすべては今後の資料の蓄積とより詳細な検討に期すべきであろう。

胎土変化の問題　今回の分析では「14世紀代」に比定される土器を中心に試料を選択したが一部、鍋・釜類については、12世紀末葉及び15世紀代の「土鍋A」、15世紀初頭の「土釜A」の分析を行った。分析試料の絶対数が少ないが、次に年代と胎土の変化について若干言及してみた。

土鍋Aについてみると、

①12世紀末～13世紀前葉…不透明鉱物Bが非常に多いほか、
ジルコンの量が多いという特徴をもつ。

②14世紀代…黒雲母が非常に多いという特徴をもつ。

③15世紀代…重鉱物粒数が極端に少ない

という具合に整理される。単純化をおそれずに云えば、この順で「土鍋A」は年代とともに胎土変化したということになろう。この結果は、はからずも隣接する土田遺跡（清州町）での胎土分析（重鉱物）結果をまとめた赤塚次郎氏が設定した第1段階～第3段階[43]に①

～③が対応するものである。さらに遠く離れた杉山遺跡において②、③が認められその変化が期を一にすることが明らかになった。これは形態・技法の変化のみならず、胎土の変化も一致をみるということである。このことは、この土鍋Aが少なくとも尾張～三河にかけての編年指標として極めて有用なことを示すとともに、これら土鍋Aが共通するある特定の産地から継続的に入手されていたことを示しているものと解され注目されよう。今後、主として「陶器」の研究からすすめられてきた当該期の編年・「流通」を考える上で重要な資料となるものと考える。

以上、胎土分析の結果の報告及びそれについての若干の考察を行ってみた。まだまだ分析結果について考察すべき点も多いものと考えるが、いましばらくは、各地の遺跡での分析結果の蓄積をまちたい。

本項は、パリノ・サーヴェイ株式会社の依頼報告書を基に、北村が一部組替・加筆（主として考察部分）等を行いまとめあげたものである。

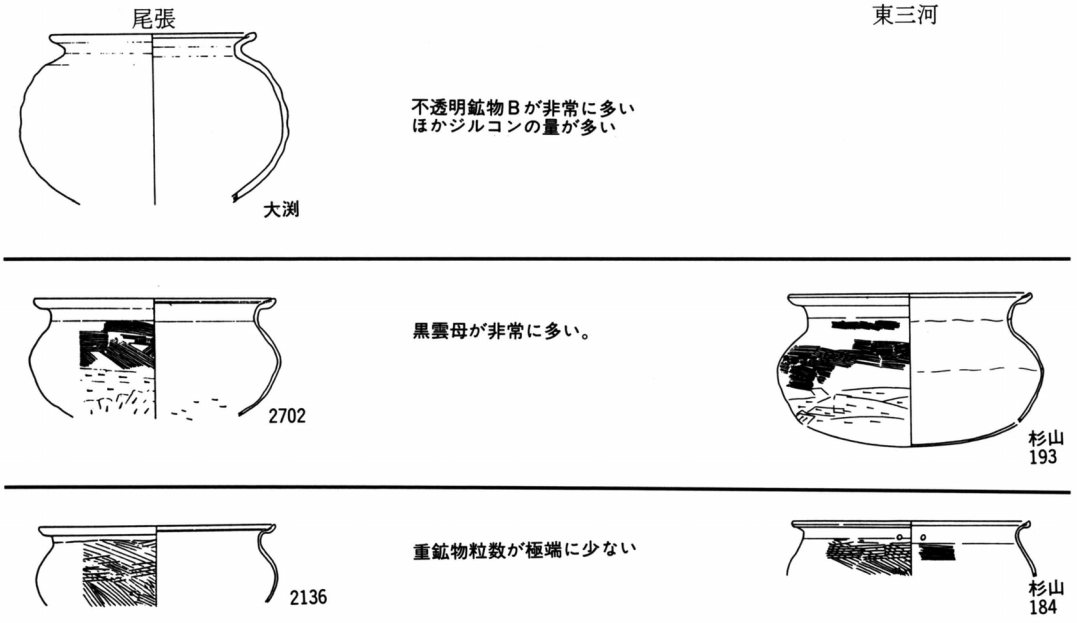

第263図　土鍋Aの胎土と形態